

بررسی برهمکنش پورفیرازین با سورفکتانت ها

الهام شمسی

در بخش اول این مطالعه، برهمکنش یکسری از مواد فعال سطحی آنیونی با طول زنجیر آلکیلی متفاوت از قبیل سدیم دودسیل سولفات (SDS)، سدیم تترا دسیل سولفونات (STS) و سدیم هگزا دسیل سولفونات (SHS)، با تتراکیس (N', N'', N''', N- تترا متیل تترا 2و3- پریدینو) مس (II) پورفیرازین، $[Cu(II) 2,3-tmtppa]^{4+}$ و تتراکیس (N', N'', N''', N- تترا متیل تترا 3و4- پریدینو) مس (II) پورفیرازین، $[Cu(II) 3,4-tmtppa]^{4+}$ در محیط های گوناگون از قبیل: قدرت یونی و غلظت های متفاوت از مواد فعال سطحی در بافر فسفات 7 میلی مولار با $pH=7/2$ بوسیله طیف سنجی جذبی مورد بررسی قرار گرفت. نتایج نشان می دهد که $[Cu(II) 2,3-tmtppa]^{4+}$ و $[Cu(II) 3,4-tmtppa]^{4+}$ برهمکنش قوی با مواد فعال سطحی در غلظت های قبل از م ایسل، در ناحیه م ایسلی و در ناحیه بعد از م ایسل شدن از خود نشان می دهند، که این پدیده همراه با تغییراتی در باند جذبی Q بوده که میزان این برهمکنش با افزایش طول زنجیر مواد فعال سطحی افزایش می یابد.

در بخش دوم این مطالعه ثابت های پیوندی $[Cu(II) 2,3-tmtppa]^{4+}$ با مواد فعال سطحی آنیونی در دماهای 25، 30، 40 و 50 درجه سانتیگراد بوسیله طیف سنجی مرئی-فرابنفش (uv-vis) محاسبه گردید. میزان تمایل مواد فعال سطحی جهت پیوند شدن با پورفیرازین به صورت زیر کاهش می یابد:

SDS < STS < SHS

به منظور توضیح چگونگی ماهیت برهمکنش مواد فعال سطحی با پورفیرازین $[Cu(II) 2,3-tmtppa]^{4+}$ ، پارامترهای ترمودینامیکی (انرژی آزاد گیبس، آنتالپی، آنتروپی) از طریق نمودار معادله وانت هوف در دماهای مختلف محاسبه گردید. نتایج حاکی از آن است که نیروهای هیدروفوبیک در برهمکنش پورفیرازین- مواد فعال سطحی نقش مهمی را ایفا می نمایند. انرژی پیوند شدن مواد فعال سطحی به پورفیرازین با افزایش طول زنجیر هیدروکربنی آنها، افزایش می یابد که این پدیده نقش آنتروپی را به عنوان نیروی پیش برنده در فرآیند پیوند شدن نشان می دهد.

کلید واژه: مواد فعال سطحی، پورفیرازین، سدیم دودسیل سولفات، اسپکتروسکوپی مرئی-فرابنفش، تجمع

صفحه	عنوان
1	فصل اول: مقدمه و تئوری
2	پورفیرین ها
2	1-1 ساختار عمومی
3	2-1 خواص الکترونی و طیف جذبی پورفیرین ها
5	3-1 خود انبوهش پورفیرین ها
6	4-1 پورفیرازین ها
10	5-1 مقایسه پورفیرازین ها و فتالوسیانین ها
11	6-1 مواد فعال سطحی
11	7-1 دسته بندی مواد فعال سطحی
13	8-1 تجمع ماده فعال سطحی
15	9-1 انواع مایسل ها
16	10-1 ساختار مایسل ها
19	11-1 عوامل موثر بر نقطه cmc در مواد فعال سطحی
19	1-11-1 اثر طول زنجیر هیدروکربنی گروه آب گزیر بر نقطه cmc
20	2-11-1 اثر ساختار گروه آب گریز بر نقطه cmc
20	3-11-1 اثر گروه آبدوست بر نقطه cmc
21	12-1 اثر دما بر نقطه cmc
22	13-1 اثر دما بر حلالیت ماده فعال سطحی
22	14-1 روشهای تعیین cmc
23	15-1 روش هدایت سنجی
25	16-1 ترمودینامیک تشکیل مایسل
28	17-1 روش تغییرات بیهسته
31	18-1 معادلات اسچی - تریدول
32	19-1 تعیین ثابت پیوند

33	20-1 کاربرد مایسل ها در شیمی
33	1-20-1 کاتالیز واکنش ها توسط مایسل
33	2-20-2 کاربرد مایسل ها در طیف سنجی
34	3-20-2 کاربرد مایسل ها در بیوتکنولوژی
35	21-1 معادلات وانت هوف و بررسی روابط ترمودینامیکی
36	22-1 تاریخچه و پیشینه تحقیق مطالعه بر همکنش پورفیرین ها و مواد فعال سطحی
39	23-1 هدف از این پژوهش
41	فصل دوم : بخش تجربی
42	1-2 مواد مورد استفاده
42	2-2 دستگاهها
42	1-2-2 اسپکتروفتومتر دوپرتوری فرابنفش - مرئی
43	2-2-2 اسپکترونوتر دوپرتوی فرابنفش - مرئی مجهز به سیستم کنترل دمایی
43	3-2-2 ترازوی دیجیتال
43	4-2-2 pH متر
43	3-2 تهیه محلولهای مورد نیاز
43	1-3-2 تهیه 500 میلی لیتر محلول بافر 7/5 میلی مولار فسفات با 7/2 pH
44	2-3-2 تهیه محلول استوک از $[Cu(2,3-tmtpa)]^{4+}$ و $[Cu(3,4-tmtpa)]^{4+}$
44	3-3-2 تهیه محلول غلیظ سدیم کلرید
44	4-2 تهیه محلول مواد فعال سطحی
44	1-4-2 تهیه محلول غلیظ سدیم تترادسیل سولفات
45	2-4-2 تهیه محلول غلیظ سدیم هگزا دسیل سولفات
45	3-4-2 تهیه محلول غلیظ هگزادسیل تری متیل آمونیوم برماید
	5-2 روش ها
45	1-5-2 آزمایش بیر- لامبرت

- 2-5-2 آزمایش تیتراسیونی اثر نمک $NaCl$ بر طیف جذبی $[Cu(2,3-tmtppa)]^{4+}$ و $[Cu(3,4-tmtppa)]^{4+}$ 46
- 2-5-3 آزمایش تیتراسیونی اثر نمک $NaCl$ بر طیف جذبی $[Cu(2,3-tmtppa)]^{4+}$ -Surfactant 46
- 2-5-4 آزمایش تیتراسیون اثر نمک $NaCl$ بر طبقه جذبی $[Cu(2,3-tmtppa)]^{4+}$ -Surfactant در نقطه بحرانی تشکیل مایسل 46
- 2-5-5 آزمایش تیتراسیون اثر نمک $NaCl$ بر طبقه جذبی $[Cu(2,3-tmtppa)]^{4+}$ -Surfactant در بعد از نقطه بحرانی تشکیل مایسل 47
- 2-5-6 آزمایش تیتراسیون اثر نمک $NaCl$ بر طیف جذبی $[Cu(3,4-tmtppa)]^{4+}$ -Surfactant در قبل از نقطه بحرانی تشکیل مایسل 47
- 2-5-7 آزمایش تیتراسیون اثر نمک $NaCl$ بر طیف جذبی $[Cu(3,4-tmtppa)]^{4+}$ -Surfactant در نقطه بحرانی تشکیل مایسل 47
- 2-5-8 آزمایش تیتراسیون اثر نمک $NaCl$ بر طیف جذبی $[Cu(3,4-tmtppa)]^{4+}$ -Surfactant در بعد از نقطه بحرانی تشکیل مایسل 48
- 2-6 تعیین ثابت پیوند K_b به روش جاب 48
- فصل سوم: بحث و نتیجه گیری 49
- 3-1 مطالعات طیف جذبی پورفیرازین $[Cu(2,3-tmtppa)]^{4+}$ 50
- 3-1-1 بررسی اثر غلظت و قانون بیر در طیف جذبی $[Cu(2,3-tmtppa)]^{4+}$ 50
- 3-2-بررسی اثر نمک 52
- 3-2-1 مطالعات اثر قدرت یونی بر طیف جذبی پورفیرازین $[Cu(2,3-tmtppa)]^{4+}$ 52
- 3-3 مطالعات ($uv-vis$) طیف جذبی پورفیرازین $[Cu(2,3-tmtppa)]^{4+}$ بر اثر افزایش مواد فعالی سطحی 53
- 3-3-1 اثر غلظت مواد فعال سطحی (SHS, STS, SDS) بر طیف جذبی پورفیرازین در قبل از نقطه بحرانی تشکیل مایسل 53
- 3-3-2 اثر غلظت مواد فعال سطحی (SHS, STS, SDS) بر طیف جذبی پورفیرازین در نقطه بحرانی تشکیل مایسل 56

- 3-3-3 اثر غلظت مواد فعال سطحی (*SHS, STS, SDS*) بر طیف جذبی پورفیرازین در بعد از نقطه بحرانی تشکیل مایسل..... 57
- 4-3 مطالعه تاثیر افزایش طول زنجیر هیدروکربنی مواد فعال سطحی بر طیف جذبی پورفیرازین $[Cu(2,3-tmtppa)]^{4+}$ 60
- 5-3 اثر نمک بر میزان بر همکنش مواد فعال سطحی و پورفیرازین $[Cu(2,3-tmtppa)]^{4+}$ 61
- 1-5-3 اثر افزایش غلظت نمک *NaCl* بر محلول مواد فعال سطحی (*SHS, STS, SDS*) با پورفیرازین مس $[Cu(2,3-tmtppa)]^{4+}$ در قبل از نقطه بحرانی تشکیل مایسل..... 62
- 2-5-3 اثر افزایش غلظت نمک *NaCl* بر محلول مواد فعال سطحی (*SHS, STS, SDS*) با پورفیرازین مس $[Cu(2,3-tmtppa)]^{4+}$ در نقطه بحرانی تشکیل مایسل..... 64
- 3-5-3 اثر افزایش غلظت نمک *NaCl* بر محلول مواد فعال سطحی (*SHS, STS, SDS*) با پورفیرازین مس $[Cu(2,3-tmtppa)]^{4+}$ در بعد از نقطه بحرانی تشکیل مایسل..... 67
- 6-3 مطالعات طیف جذبی پورفیرازین $[Cu(3,4-tmtppa)]^{4+}$ 69
- 1-6-3 بررسی اثر غلظت و قانون بیر در طیف جذبی پورفیرازین $[Cu(3,4-tmtppa)]^{4+}$ 69
- 7-3 بررسی اثر نمک..... 71
- 1-7-3 مطالعات اثر قدرت یونی بر طیف جذبی پورفیرازین $[Cu(3,4-tmtppa)]^{4+}$ 71
- 8-3 مطالعات (*uv-vis*) طیف جذبی پورفیرازین $[Cu(3,4-tmtppa)]^{4+}$ بر اثر افزایش مواد فعال سطحی..... 72
- 1-8-3 اثر غلظت مواد فعال سطحی (*SHS, STS, SDS*) بر طیف جذبی پورفیرازین در قبل از نقطه بحرانی تشکیل مایسل..... 72
- 2-8-3 اثر غلظت مواد فعال سطحی (*SHS, STS, SDS*) بر طیف جذبی پورفیرازین در نقطه بحرانی تشکیل مایسل..... 75
- 3-8-3 اثر غلظت مواد فعال سطحی (*SHS, STS, SDS*) بر طیف جذبی پورفیرازین در بعد از نقطه بحرانی تشکیل مایسل..... 76
- 9-3 مطالعه تاثیر افزایش طول زنجیر هیدروکربنی مواد فعال سطحی بر جذب پورفیرازین $[Cu(3,4-tmtppa)]^{4+}$ 80

- 10-3 برهمکنش هگزا دسیل تری متیل آمونیوم بر ماید (HTAB) با پورفیرازین $[Cu(3,4-tmtppa)]^{4+}$ 81
- 11-3 اثر $NaCl$ بر میزان بر همکنش مواد فعال سطحی و پورفیرازین مس $[Cu(2,3-tmtppa)]^{4+}$ 83
- 1-11-3 اثر افزایش غلظت نمک $NaCl$ بر محلول ماده فعال سطحی (SHS,STS,SDS) با پورفیرازین مس 83
- $[Cu(3,4-tmtppa)]^{4+}$ در قبل از نقطه بحرانی تشکیل مایسل 83
- 2-11-3 اثر افزایش غلظت نمک $NaCl$ بر محلول ماده فعال سطحی (SHS,STS,SDS) - پورفیرازین مس 83
- $[Cu(3,4-tmtppa)]^{4+}$ در نقطه بحرانی تشکیل مایسل 85
- 3-11-3 اثر افزایش غلظت نمک $NaCl$ بر محلول ماده فعال سطحی (SHS,STS,SDS) با پورفیرازین مس 85
- $[Cu(3,4-tmtppa)]^{4+}$ در بعد از نقطه بحرانی تشکیل مایسل 88
- 12-3 اثر گذشت زمان بر همکنش پورفیرازین $[Cu(3,4-tmtppa)]^{4+}$ با ماده فعال سطحی سدیم دودسیل سولفات 90
- 13-3 بررسی نمودار جاب برای برهمکنش پورفیرازین $[Cu(2,3-tmtppa)]^{4+}$ با مواد فعال سطحی (SHS,STS,SDS) در دمای $25^{\circ}C$ 91
- 14-3 بررسی نمودار جاب برای برهمکنش پورفیرازین $[Cu(3,4-tmtppa)]^{4+}$ با مواد فعال سطحی (SHS,STS,SDS) در دمای $25^{\circ}C$ 93
- 15-3 تجزیه و تحلیل روابط ترمودینامیکی فرآیند اتصال پورفیرازین $[Cu(2,3-tmtppa)]^{4+}$ با مواد فعال سطحی در دماهای مختلف 96
- 1-15-3 تجزیه و تحلیل روابط ترمودینامیکی فرآیند اتصال پورفیرازین $[Cu(2,3-tmtppa)]^{4+}$ با ماده فعال سطحی (SDS) در دماهای مختلف 96
- 2-15-3 تجزیه و تحلیل روابط ترمودینامیکی فرآیند اتصال پورفیرازین $[Cu(2,3-tmtppa)]^{4+}$ با ماده فعال سطحی (STS) در دماهای مختلف 98
- 3-15-3 تجزیه و تحلیل روابط ترمودینامیکی فرآیند اتصال پورفیرازین $[Cu(2,3-tmtppa)]^{4+}$ با ماده فعال سطحی (SHS) در دماهای مختلف 99
- نتیجه گیری 102
- پیشنهاد برای کارهای آینده 103

104.....مراجع

108.....پیوست

صفحه	عنوان
44	جدول (1-2) مقادیر cmc مواد فعال سطحی به کار برده شده در این تحقیق.....
48	جدول (2-2) تهیه محلول ها به روش جاب
53	جدول (1-3) تغییرات جذب و طول موج بیشینه در اثر افزایش غلظت نمک بر طیف جذبی $[Cu(2,3-tmtppa)]^{4+}$ با غلظت $1/94 \times 10^{-5}$ مولار در بافر فسفات با pH 7/2
59	جدول (2-3) تغییرات جذب و طول موج بیشینه در اثر افزایش غلظت SDS بر طیف جذبی $[Cu(2,3-tmtppa)]^{4+}$ با غلظت $1/95 \times 10^{-5}$ مولار در بافر فسفات با pH 7/2
59	جدول (3-3) تغییرات جذب و طول موج بیشینه در اثر افزایش غلظت STS بر طیف جذبی $[Cu(2,3-tmtppa)]^{4+}$ با غلظت $1/95 \times 10^{-5}$ مولار در بافر فسفات با pH 7/2
60	جدول (4-3) تغییرات جذب و طول موج بیشینه در اثر افزایش غلظت SHS بر طیف جذبی $[Cu(2,3-tmtppa)]^{4+}$ با غلظت $1/95 \times 10^{-5}$ مولار در بافر فسفات با pH 7/2
72	جدول (5-3) تغییرات جذب و طول موج بیشینه در اثر افزایش غلظت نمک بر طیف جذبی $[Cu(3,4-tmtppa)]^{4+}$ با غلظت $8/1 \times 10^{-5}$ مولار در بافر فسفات با pH 7/2
78	جدول (6-3) تغییرات جذب و طول موج بیشینه در اثر افزایش غلظت SDS بر طیف جذبی $[Cu(3,4-tmtppa)]^{4+}$ با غلظت $8/1 \times 10^{-5}$ مولار در بافر فسفات با pH 7/2
79	جدول (7-3) تغییرات جذب و طول موج بیشینه در اثر افزایش غلظت STS بر طیف جذبی $[Cu(3,4-tmtppa)]^{4+}$ با غلظت $8/1 \times 10^{-5}$ مولار در بافر فسفات با pH 7/2
79	جدول (8-3) تغییرات جذب و طول موج بیشینه در اثر افزایش غلظت SHS بر طیف جذبی $[Cu(3,4-tmtppa)]^{4+}$ با غلظت $8/1 \times 10^{-5}$ مولار در بافر فسفات با pH 7/2
91	جدول (9-3) مقادیر پارامترهای ثابت پیوند حاصل از برهمکنش $[Cu(2,3-tmtppa)]^{4+}$ با مواد فعال سطحی.....
93	جدول (10-3) مقادیر پارامترهای ثابت پیوند حاصل از برهمکنش $[Cu(3,4-tmtppa)]^{4+}$ با مواد فعال سطحی.....
94	جدول (11-3) مقایسه مقادیر ثابت پیوند حاصل از برهمکنش $[Cu(2,3-tmtppa)]^4$ و $[Cu(3,4-tmtppa)]^{4+}$ با مواد فعال سطحی.....

صفحه	عنوان
96	جدول (12-3) مقادیر پارامترهای ترمودینامیکی حاصل از برهمکنش $[Cu(2,3-tmtppa)]^4$ با SDS
98	جدول (13-3) مقادیر پارامترهای ترمودینامیکی حاصل از برهمکنش $[Cu(2,3-tmtppa)]^4$ با STS
100	جدول (14-3) مقادیر پارامترهای ترمودینامیکی حاصل از برهمکنش $[Cu(2,3-tmtppa)]^4$ با SHS

صفحه	عنوان
2	شکل (1-1) ساختار عمومی پورفیرین ها.....
2	شکل (2-1) ساختار پورفین.....
3	شکل (3-1) مثالی از ساختار عمومی یک متالوپورفیرین.....
3	شکل (4-1) نمای عمومی طیف جذبی یک پورفیرین.....
4	شکل (5-1) سطوح انرژی HOMO (a_{1u} و a_{2u}) و LUMO (e_g) در پورفیرین ها.....
5	شکل (6-1) انواع انبوهش های منظم در پورفیرین ها.....
6	شکل (7-1) ساختار عمومی پورفیرازین ها.....
7	شکل (8-1) ساختار عمومی پورفیرازین ستاره ای.....
7	شکل (9-1) ساختار عمومی پورفیرازین های سکو.....
8	شکل (10-1) ساختار نوعی پورفیرازین اکتا-آمین.....
8	شکل (11-1) ساختار نوعی پورفیرازین دو تایی.....
9	شکل (12-1) ایزومر ترانس پورفیرازین عامل دار شده.....
10	شکل (13-1) ساختار پورفیرازین الف) $[M-tpa]$ ، ب) $[M-2,3-tmtppa]^{4+}$ و ج) $[M-3,4-tmtppa]^{4+}$
15	شکل (14-1) شمایی از نمایش وابستگی چند خاصیت فیزیکی به غلظت، برای محلول یک ماده فعال سطحی.....
16	شکل (15-1) شمایی از تشکیل ساختار مایسلها از یکدیگر.....
18	شکل (16-1) ساختار مایسل ها.....
21	شکل (17-1) وابستگی cmc به دما در سدیم دودسیل سولفات و پنتا (اتیلن گلیکول) مونو دسیل اتر.....
22	شکل (18-1) وابستگی حلالیت ماده فعال سطحی به دما در حوالی نقطه کرافت.....
	شکل (19-1) تعیین ΔE و ΔE^0 برای محاسبه K ثابت پیوند، از طریق روش جاب.....
	33
40	شکل (20-1) ساختار پورفیرازین الف) $[Cu(3,4-tmtppa)^{4+}]$ و ب) $[Cu(2,3-tmtppa)^{4+}]$
40	شکل (21-1) ساختار مواد فعال سطحی به ترتیب افزایش زنجیره هیدروکربنی.....

شکل (1-2) نمایی از دستگاه طیف سنجی و سل مورد استفاده در این تحقیق..... 43

فهرست اشکال
د

عنوان
صفحه

شکل (1-3) طیف جذبی محلول آبی $[Cu(2,3-tmtppa)]^{4+}$ در غلظت های مختلف و در بافر فسفات با pH 7/2 51

شکل (2-3) منحنی تغییرات جذب بیشینه در طول موج 638 نانومتر در غلظت های مختلف کمپلکس $[Cu(2,3-tmtppa)]^{4+}$

و پیروی از قانون بیر - لامبر..... 51

شکل (3-3) طیف جذبی محلول آبی $1/95 \times 10^{-5}$ مولار کمپلکس $[Cu(2,3-tmtppa)]^{4+}$ در حضور غلظت های مختلف از نمک

NaCl و در بافر فسفات با pH 7/2 52

شکل (4-3) طیف جذبی محلول آبی $1/95 \times 10^{-5}$ مولار کمپلکس $[Cu(2,3-tmtppa)]^{4+}$ در حضور غلظت های مختلف قبل از

cmc ماده فعال سطحی SDS و در بافر فسفات با pH 7/2 ..

54

شکل (5-3) طیف جذبی محلول آبی $1/95 \times 10^{-5}$ مولار کمپلکس $[Cu(2,3-tmtppa)]^{4+}$ در حضور غلظت های مختلف قبل از

cmc ماده فعال سطحی STS و در بافر فسفات با pH 7/2 ..

55

شکل (6-3) طیف جذبی محلول آبی $1/95 \times 10^{-5}$ مولار کمپلکس $[Cu(2,3-tmtppa)]^{4+}$ در حضور غلظت های مختلف قبل از

cmc ماده فعال سطحی SHS و در بافر فسفات با pH 7/2 ..

55

شکل (7-3) طیف جذبی محلول آبی $1/95 \times 10^{-5}$ مولار کمپلکس $[Cu(2,3-tmtppa)]^{4+}$ در حضور غلظت های مختلف در cmc

مواد فعال سطحی SDS، STS، و SHS در بافر فسفات با pH 7/2 ..

56

شکل (8-3) طیف جذبی محلول آبی $1/95 \times 10^{-5}$ مولار کمپلکس $[Cu(2,3-tmtppa)]^{4+}$ در حضور غلظت های مختلف در بعد از

cmc مواد فعال سطحی SDS در بافر فسفات با pH 7/2 ..

57

شکل (9-3) طیف جذبی محلول آبی $1/95 \times 10^{-5}$ مولار کمپلکس $[Cu(2,3-tmtppa)]^{4+}$ در حضور غلظت های مختلف در بعد از cmc مواد فعال سطحی STS در بافر فسفات با pH 7/2

58

شکل (10-3) طیف جذبی محلول آبی $1/95 \times 10^{-5}$ مولار کمپلکس $[Cu(2,3-tmtppa)]^{4+}$ در حضور غلظت های مختلف در بعد از cmc مواد فعال سطحی SHS در بافر فسفات با pH 7/2

58

شکل (11-3) مقایسه تأثیر افزایش غلظت مواد فعال سطحی بر جذب $[Cu(2,3-tmtppa)]^{4+}$ با غلظت $1/95 \times 10^{-5}$ مولار در بافر فسفات با pH 7/2

61

فهرست اشکال

ذ

عنوان صفحه

شکل (3-12) طیف جذبی محلول آبی $[Cu(2,3-tmtppa)]^{4+}$ SDS- در cmc 0/25 در بافر فسفات با pH 7/2 در حضور غلظت های مختلف از NaCl

63

شکل (3-13) طیف جذبی محلول آبی $[Cu(2,3-tmtppa)]^{4+}$ STS- در cmc 0/25 در بافر فسفات با pH 7/2 در حضور غلظت های مختلف از NaCl

63

شکل (3-14) طیف جذبی محلول آبی $[Cu(2,3-tmtppa)]^{4+}$ SHS- در cmc 0/25 در بافر فسفات با pH 7/2 در حضور غلظت های مختلف از NaCl

64

شکل (3-15) طیف جذبی محلول آبی $[Cu(2,3-tmtppa)]^{4+}$ SDS- در cmc در بافر فسفات با pH 7/2 در حضور غلظت های مختلف از NaCl

65

شکل (3-16) طیف جذبی محلول آبی $[Cu(2,3-tmtppa)]^{4+}$ STS- در cmc در بافر فسفات با pH 7/2 در حضور غلظت های مختلف از NaCl

66

شکل (3-17) طیف جذبی محلول آبی $[Cu(2,3-tmtppa)]^{4+}$ SDS- در cmc و در بافر فسفات با pH 7/2 در حضور غلظت های مختلف از NaCl

66

شکل (3-18) طیف جذبی محلول آبی $[Cu(2,3-tmtppa)]^{4+}$ SDS- در cmc 1/25 و در بافر فسفات با pH 7/2 در حضور غلظت های مختلف از NaCl

67

شکل (3-19) طیف جذبی محلول آبی $[Cu(2,3-tmtppa)]^{4+}$ STS- در $1/25$ cmc و در بافر فسفات با pH 7/2 در حضور غلظت های مختلف از NaCl	68
شکل (3-20) طیف جذبی محلول آبی $[Cu(2,3-tmtppa)]^{4+}$ SHS- در $1/25$ cmc و در بافر فسفات با pH 7/2 در حضور غلظت های مختلف از NaCl	68
شکل (3-21) طیف جذبی محلول آبی $[Cu(3,4-tmtppa)]^{4+}$ در غلظت های مختلف و در بافر فسفات با pH 7/2	70
شکل (3-22) منحنی تغییرات جذب بیشینه در طول موج 678 نانومتر در غلظت های مختلف کمپلکس $[Cu(3,4-tmtppa)]^{4+}$ و پیروی از قانون بیر - لامبر	70

ر	فهرست اشکال
صفحه	عنوان
71	شکل (3-23) طیف جذبی محلول آبی $8/1 \times 10^{-5}$ مولار کمپلکس $[Cu(3,4-tmtppa)]^{4+}$ در حضور غلظت های مختلف از نمک NaCl و در بافر فسفات با pH 7/2
73	شکل (3-24) طیف جذبی محلول آبی $8/1 \times 10^{-5}$ مولار کمپلکس $[Cu(3,4-tmtppa)]^{4+}$ در حضور غلظت های مختلف قبل از cmc ماده فعال سطحی SDS و در بافر فسفات با pH 7/2
74	شکل (3-25) طیف جذبی محلول آبی $8/1 \times 10^{-5}$ مولار کمپلکس $[Cu(3,4-tmtppa)]^{4+}$ در حضور غلظت های مختلف قبل از cmc ماده فعال سطحی STS و در بافر فسفات با pH 7/2
74	شکل (3-26) طیف جذبی محلول آبی $8/1 \times 10^{-5}$ مولار کمپلکس $[Cu(3,4-tmtppa)]^{4+}$ در حضور غلظت های مختلف قبل از cmc ماده فعال سطحی SHS و در بافر فسفات با pH 7/2
75	شکل (3-27) طیف جذبی محلول آبی $8/1 \times 10^{-5}$ مولار کمپلکس $[Cu(3,4-tmtppa)]^{4+}$ در حضور غلظت های مختلف در cmc مواد فعال سطحی SDS، STS و SHS در بافر فسفات با pH 7/2

شکل (3-28) طیف جذبی محلول آبی $8/1 \times 10^{-5}$ مولار کمپلکس $[Cu(3,4-tmtppa)]^{4+}$ در حضور غلظت های مختلف بعد از cmc ماده فعال سطحی SDS و در بافر فسفات با pH 7/2

77

شکل (3-29) طیف جذبی محلول آبی $8/1 \times 10^{-5}$ مولار کمپلکس $[Cu(3,4-tmtppa)]^{4+}$ در حضور غلظت های مختلف بعد از cmc ماده فعال سطحی STS و در بافر فسفات با pH 7/2

شکل (3-30) طیف جذبی محلول آبی $8/1 \times 10^{-5}$ مولار کمپلکس $[Cu(3,4-tmtppa)]^{4+}$ در حضور غلظت های مختلف بعد از cmc ماده فعال سطحی SHS و در بافر فسفات با pH 7/2

شکل (3-31) مقایسه تأثیر افزایش غلظت مواد فعال سطحی بر طیف جذبی $[Cu(3,4-tmtppa)]^{4+}$ با غلظت $8/1 \times 10^{-5}$ مولار در بافر فسفات با pH 7/2

شکل (3-32) طیف جذبی محلول آبی $[Cu(3,4-tmtppa)]^{4+}$ در SDS- در cmc 0/25 در بافر فسفات با pH 7/2 در حضور غلظت های مختلف از NaCl

شکل (3-33) طیف جذبی محلول آبی $[Cu(3,4-tmtppa)]^{4+}$ در STS- در cmc 0/25 در بافر فسفات با pH 7/2 در حضور غلظت های مختلف از NaCl

فهرست اشکال

عنوان صفحه

شکل (3-34) طیف جذبی محلول آبی $[Cu(3,4-tmtppa)]^{4+}$ در SHS- در cmc 0/25 در بافر فسفات با pH 7/2 در حضور غلظت های مختلف از NaCl

شکل (3-35) طیف جذبی محلول آبی $[Cu(3,4-tmtppa)]^{4+}$ در SDS- در cmc و در بافر فسفات با pH 7/2 در حضور غلظت های مختلف از NaCl

شکل (3-36) طیف جذبی محلول آبی $[Cu(3,4-tmtppa)]^{4+}$ در STS- در cmc و در بافر فسفات با pH 7/2 در حضور غلظت های مختلف از NaCl

شکل (3-37) طیف جذبی محلول آبی $[Cu(3,4-tmtppa)]^{4+}$ در SHS- در cmc و در بافر فسفات با pH 7/2 در حضور غلظت های مختلف از NaCl

86

- شکل (3-38) طیف جذبی محلول آبی $[Cu(3,4-tmtppa)]^{4+}$ در STS- در 1/25 cmc و در بافر فسفات با pH 7/2 در حضور غلظت های مختلف از NaCl 87
- شکل (3-39) طیف جذبی محلول آبی $[Cu(3,4-tmtppa)]^{4+}$ در SHS- در 1/25 cmc و در بافر فسفات با pH 7/2 در حضور غلظت های مختلف از NaCl 88
- شکل (3-40) اثر گذشت زمان بر برهمکنش پورفیرازین $[Cu(2,3-tmtppa)]^{4+}$ با ماده فعال سطحی SDS 89
- شکل (3-41) نمودار جاب از (SDS) و پورفیرازین $[Cu(2,3-tmtppa)]^{4+}$ در محلول آبی و در دمای $25^{\circ}C$ 90
- شکل (3-42) نمودار جاب از (STS) و پورفیرازین $[Cu(2,3-tmtppa)]^{4+}$ در محلول آبی و در دمای $25^{\circ}C$ 90
- شکل (3-43) نمودار جاب از (SHS) و پورفیرازین $[Cu(2,3-tmtppa)]^{4+}$ در محلول آبی و در دمای $25^{\circ}C$ 91
- شکل (3-44) نمودار جاب از (SDS) و پورفیرازین $[Cu(3,4-tmtppa)]^{4+}$ در محلول آبی و در دمای $25^{\circ}C$ 92
- شکل (3-45) نمودار جاب از (STS) و پورفیرازین $[Cu(3,4-tmtppa)]^{4+}$ در محلول آبی و در دمای $25^{\circ}C$ 92
- شکل (3-46) نمودار جاب از (SHS) و پورفیرازین $[Cu(3,4-tmtppa)]^{4+}$ در محلول آبی و در دمای $25^{\circ}C$ 93
- شکل (3-48) نمودار جاب از پورفیرازین $[Cu(2,3-tmtppa)]^{4+}$ و SDS در محلول آبی در دما های $25^{\circ}C$ تا $50^{\circ}C$ 95

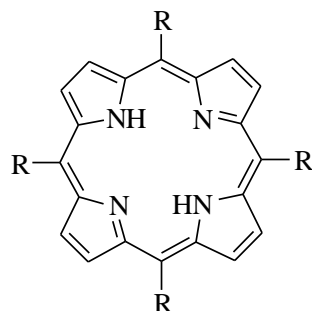
س	فهرست اشکال
صفحه	عنوان
95	شکل (3-49) تغییرات $\ln K$ نسبت به $1/T$ (نمودار وانت هوف) بر همکنش $[Cu(2,3-tmtppa)]^{4+}$ -SDS 97
	شکل (3-50) نمودار جاب از پورفیرازین $[Cu(2,3-tmtppa)]^{4+}$ و STS در محلول آبی در دما های $25^{\circ}C$ تا $50^{\circ}C$ 97
	شکل (3-52) تغییرات $\ln K$ نسبت به $1/T$ (نمودار وانت هوف) بر همکنش $[Cu(2,3-tmtppa)]^{4+}$ با STS 97
98	شکل (3-52) نمودار جاب از پورفیرازین $[Cu(2,3-tmtppa)]^{4+}$ و SHS در محلول آبی در دما های $25^{\circ}C$ تا $50^{\circ}C$ 99
	شکل (3-53) تغییرات $\ln K$ نسبت به $1/T$ (نمودار وانت هوف) برای بر همکنش $[Cu(2,3-tmtppa)]^{4+}$ با SHS 99

فصل اول

مقدمه و تئوری

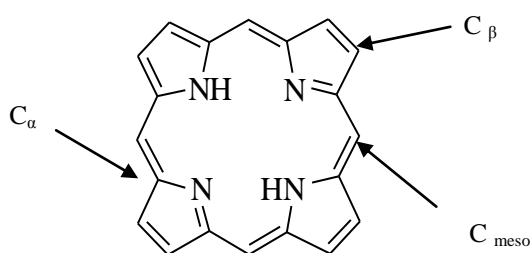
1-1- ساختار عمومی پورفیرین‌ها

پورفیرین‌ها از یک هسته مرکزی تشکیل شده‌اند که شامل چهار حلقه پیرولی بوده که با پل‌های متین^۲ به هم متصل شده‌اند. ساختار عمومی این ترکیبات در شکل (1-1) نشان داده شده است.



شکل (1-1) ساختار عمومی پورفیرین‌ها [1]

ساده‌ترین پورفیرین، پروفین^۳ نام دارد. شکل (2-1). انواع پورفین‌ها را می‌توان با جایگزین کردن استخلاف‌های مختلف در موقعیت‌های پیرولی و یا کربن‌های متین ایجاد نمود. روش کلاسیک نامگذاری پورفیرین‌ها بر اساس اختصاص شماره‌های 1 تا 16 به موقعیت‌های جانبی پیرولی و اختصاص حروف $\alpha, \beta, \gamma, \delta$ به موقعیت‌های متین بین پیرولی که معمولاً مزو^۴ نامیده می‌شوند، می‌باشند.

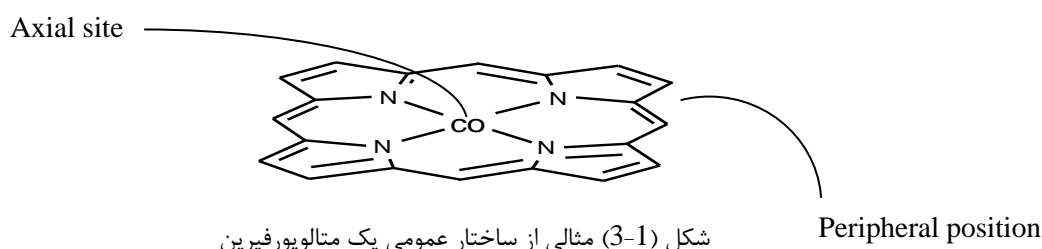


شکل (2-1) ساختار پورفین [1]

در نامگذاری جدید، اتم‌های کربن از 1 تا 20 شماره گذاری می‌شوند. ساختار ساده پورفیرین دارای 18 الکترون π است که همه در سیستم مزدوج شرکت دارند و این سیستم مزدوج وسیع، به مولکول خواص

-
1. Porphyrin
 2. Methyn
 3. porphyn
 4. Meso

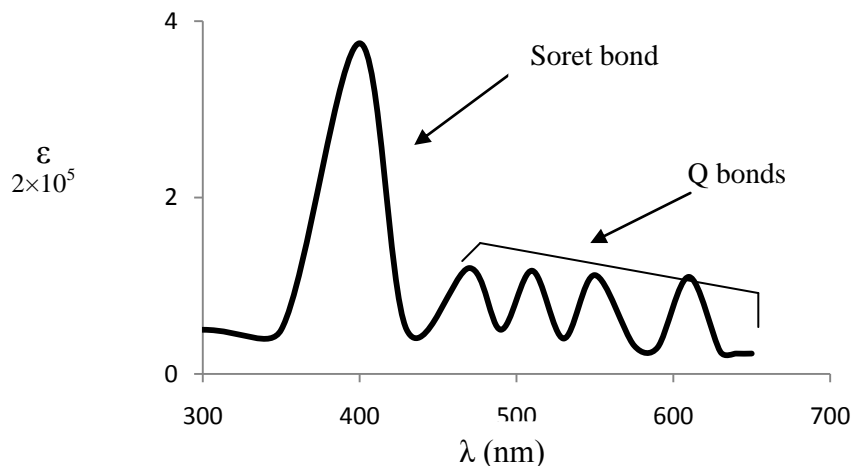
آروماتیکی شدیدی داده است و باعث پایداری رزونانسی بین 16 تا 25 کیلو ژول بر مول شده است [1]. در متالوپورفیرین ها که شکل دی آنیون پورفیرین ها است و با کمپلکس شدن به یون های فلزی تهیه می شود، زوج الکترون های هسته مرکزی در اختیار فلز قرار گرفته و ب ا فلز کئوردینه می شوند . متداولترین ساختار هایی که متالو پورفیرین¹ ها دارند، ساختارهای چهار کئوردینه مربعی و پنج کئوردینه هرم مربع القائده و شش کئوردینه هشت وجهی می باشند [2-4]. در متالو پورفیرین ها وجود لیگاندهای محوری می تواند مانع از کئوردیناسیون و متصل شدن متالوپورفیرین به پروتئین گردد . لیگاندهای محوری همچنین ممکن است باعث در هم ریختن پایداری واندروالسی برهمکنش های سیستم $\pi - \pi$ بین پورفیرین و بازهای نوکلئیک اسید شوند [2].



2-1- خواص الکترونی و طیف جذبی پورفیرین ها

در طیف جذبی پورفیرین ها دو نوع نوار جذبی مشاهده می شود که مربوط به انتقالات $\pi - \pi^*$ می باشد. شکل (4-1) [1-3] نوع اول نوارهای Q بوده که عبارتند از $Q_x(0,0)$ ، $Q_x(0,1)$ ، $Q_y(0,0)$ ، و $Q_y(0,1)$ و در ناحیه 500 تا 600 نانومتر ظاهر می شوند . ضریب جذب مولی این نوارها در حد $10^4 \text{ M}^{-1} \text{ cm}^{-1}$ می باشد. نوع دیگر نوار $B(0,0)$ می باشد که به نام نوار سورت² خوانده می شود. این نوار در محدوده 380 تا 470 نانومتر ظاهر می شود و ضریب جذب مولی آن در حدود $10^5 \text{ M}^{-1} \text{ cm}^{-1}$ می باشد.

1. Metaloporphyrin
2. Soret Band



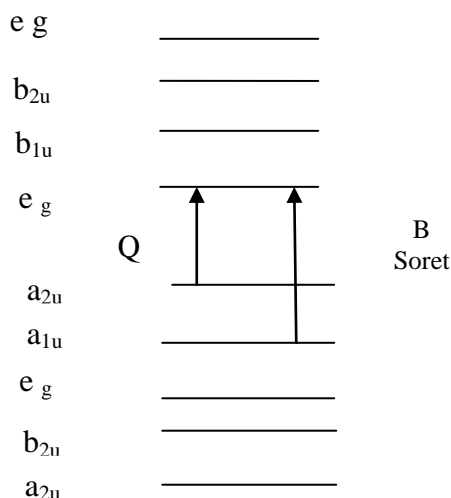
شکل (4-1) نمای عمومی طیف جذبی یک پورفیرین [1]

تفسیر طیف جذبی پورفیرین ها براساس یک مدل چهار اوربیتالی صورت می گیرد [1]. بالاترین اوربیتال های مولکولی اشغال شده ¹ (*HOMO*) و پایین ترین اوربیتال های مولکولی اشغال نشده ² (*LUMO*) حلقه پورفیرین در شکل (1-5) نشان داده شده اند.

نوارهای *Q* مربوط به انتقالات الکترونی شبه مجاز هستند. نوارهای *Q* (*0,0*) مربوط به انتقالات الکترونی به پایین ترین سطح ارتعاشی حالت برانگیخته است و نوارهای *Q* (*0,1*) مربوط به انتقالات الکترونی به اولین سطح ارتعاشی حالت برانگیخته است. شکافتگی نوارهای *Q* به مولفه های *x* و *y* به دلیل قطبیده بودن این نوارهای جذبی در صفحه *x-y* و معادل نبودن *x* و *y* در بار پورفیرین است. منشأ نوار جذبی *B* انتقال الکترون از اوربیتال مولکولی *a_{1u}* به اوربیتال مولکولی *e_g* است. این نوار ممکن است بعضی مواقع همراه با نوار مربوط به انتقال الکترونی به حالت برانگیخته ارتعاشی ظاهر شود. در این مواقع در طیف جذبی یک شانه در ناحیه آبی نوار اصلی *B* ظاهر می شود. طیف جذبی متالو پورفیرین ها نیز از همین روند کلی تبعیت می کند اما به واسطه برهمکنش اوربیتال های فلز مرکزی با اوربیتال های سیستم π حلقه پورفیرین، این نوارهای طیفی با تغییراتی همراه است. بارزترین تغییر در طیف جذبی متالو پورفیرین ها، کاهش تعداد نوارهای *Q* از چهار نوار در پورفیرین آزاد به دو نوار در کمپلکس است و این تغییر اساساً به دلیل افزایش

1. Highest Occupied Molecular Orbitals
2. Lowest Unoccupied Molecular Orbitals

تقارن مولکولی از D_{2h} به D_{4h} می باشد. موقعیت و نوع نوارهای جذبی متالو پورفیرین ها به عوامل متعددی نظیر نوع فلز، حالت اکسایش فلز و همچنین عدد کئوردیناسیون آن وابسته است.



شکل (5-1) سطوح انرژی $HOMO$ (a_{1u} و a_{2u}) و $LUMO$ (e_g) در پورفیرین ها [1]

3-1- تجمع¹ پورفیرازین ها

مساحت نسبتاً بالای صفحه مولکولی پورفیرازین سبب برهمکنش های بین مولکولی جهت داری می شود که با انبوهش مولکول های پورفیرازین همراه است [5-10]. تشکیل انبوهش های مولکولی بر روی خواص شیمیایی و فتوشیمیایی مولکولهای پورفیرین اثر می گذارد. مثلاً جذب نور و انتقال بار در فرآیند فتوسنتز در گونه های تجمع یافته صورت می گیرد [6]. از آنجایی که انبوهش های جهت دار پورفیرین ها می تواند روی خواص مغناطیسی، رسانایی و کاتالیزوری آنها تاثیر داشته باشد. تعیین فعالیت شیمیایی و بیولوژیکی و دارویی این سیستم های پیچیده نیازمند شناخت میزان و نوع انبوهش های مولکولی این سیستم ها است [10].

نیروهای پیش برنده تشکیل انبوهش های مولکولی پورفیرین ها، ناشی از برهمکنش های $\pi - \pi$ که از نوع غیرکووالانسی - واندروالسی می باشد، است. برهمکنش های فلز - لیگاند در متالوپورفیرین ها نیز نقش عمده در انبوهش پورفیرین دارند [17].

1. Self-aggregation